

**دراسة تحليلية في تصميم وتصنيع هيكل  
الباصات المصنعة محلياً  
(نيسان)**

عبد المالك إبراهيم أحمد  
محمد الطاهر أحمد

**مشروع تخرج كمطلوب تكميلي لنيل درجة البكالوريوس في  
الهندسة الميكانيكية / قوى**

قسم الهندسة الميكانيكية  
كلية الهندسة والتقنية  
جامعة وادى النيل

سبتمبر 1999 م

**الأهداء**

إلي ..

**أمي**

التي أبانت الدرب بالأشواق

إلي ..

**الأستاذ / أسمة المرضي ..**

من فائق التقدير

إلي ..

**الزماء والزهبات ..**

طلاب جامعة وادي النيل

الصفحة	المحتويات	المملخص
1		المقدمة
2		
٣	الفصل الاول:- تحليل الهيكل	
٤	١- حساب كتلة مكونات الهيكل	
٤	٢- تحديد مركز الثقل بدون العقش والركاب	
٤	٣- تحديد مركز الثقل باعتبار الركاب والعقش	
٥	٤- مخططات قوى القص وعزم الانحناء	
٥	٥- توزيع الاجهادات على المقطع العرضي للعارضة	
٦	الفصل الثاني:- المقاومات الناشئة من حركة المركبة	
٦	١- مقاومة التدرج	
٦	٢- مقاومة الهواء	
٨	الفصل الثالث :- سرعة الانزلاق والانقلاب	
٨	١- سرعة الانزلاق والانقلاب في منعطفات مستوية	
٩	٢- سرعة الانزلاق والانقلاب في منعطفات مائلة	
١٢	الفصل الرابع:- الاهتزازات الرأسية الحرة	
١٢	١- معادلات الحركة	
١٣	٢- ايجاد كرازة البيانات الورقية	
١٥	٣- تحديد عزم القصور الذاتي حول المحور	
١٦	٤- تحليل الاهتزازات	
١٧	الفصل الخامس:- مناقشة النتائج	
١٨	الاستنتاجات	
١٩	المراجع	
٢٠	الملاحق	

الصفحة	الرسومات
21	شكل(1-1) يوضح مركز النقل بدون العفس والركاب
21	شكل(2-1) يوضح مركز النقل بالعفس والركاب
22	شكل(3-1 ) توزيع الاحمال على عارضة البص
22	شكل(4-1 ) يوضح مخططات قوي القص وعزم الانتهاء
23	شكل(5-1) يوضح مقطع العارضة بدون دعامة
23	شكل(6-1) يوضح توزيع الاجهادات على مقطع العارضة بدعامة
24	شكل(7-1) يوضح مقطع العارضة بدون دعامة
24	شكل(8-1) يوضح توزيع الاجهادات على مقطع العارضة بدعامة
25	شكل(1-3) يوضح مرکبة على منعطف مستوى
26	شكل(2-3) يوضح مرکبة تقترب من الانقلاب بمنعطف مستوى
27	شكل(3-3) يوضح مرکبة على منعطف مائل
28	شكل(4-3) يوضح مرکبة على منعطف مائل دون احتكاك
28	شكل(5-3) يوضح مرکبة تقترب من الانقلاب على منعطف مائل
29	شكل(1-4)
30	شكل(2-4) يوضح باي ورقة
31	شكل(3-4) يوضح ابعاد الهيكل
32	مخطط(1) يوضح السرعة ضد المقاومة

## الملخص

هذا الدراسة تقوم تحليلًا هندسياً في تصميم البصات السفرية الوزن بعد معرفة الكتل المختلفة لقطع الهيكل ومنها حدد مركز القل للبص ، ولعارضات البص حددت ردود الأفعال في المحورين الامامي والخلفي ورسم مخططي قوى القص وعزم الأناء . كما تعرّضت الدراسة لتحليل المقاومات الناشئة من حركة البص والعوامل المؤثرة في هذه المقاومات كما حددت السرعات الحدية للسير في الطرق المختلفة المستوية والمائلة وذلك لتحديد سر عات الانزلاق والانقلاب، كما حددت الذبذبات الطبيعية للاهتزاز الحر

وتجد أن الهيكل المصنوع محليا لا تتجاوز حمولته المسموح بها في التصميم الأصلي الشاحنة .  
كما أن مركز القل يميل كثيراً للمحور الخلفي في حالة الحمولة الكاملة وان ارتفاعه عن سطح الأرض مناسباً. وجد ان اجهاد الشد في حالة وجود الدعامة لا يبرر استخدامها من الحديد المطاوع وان مقاومة التتحرّج يمكن نقلها بتقليل الوزن اما مقاومة الهواء فتعتمد على السرعة وشكل الهيكل .

## المقدمة

لاشك أن سبل المواصلات التي توصل إليها العالم قد ساهمت في التطور وإحداث نقلة حضارية جباره . فقد تعددت وسائل النقل البحرية والجوية والبرية للاحظ في السودان انه تم استيراد بحص سفرية عديده في فترات زمنية متباينة ولكنها لم تلقى نجاحاً كامل وذلك لعدم مطابقتها للمواصفات التصميمية التي تتناسب مع طبيعة السودان ومن هنا يتضح أن هذا العامل من اهم العوامل التي ساهمت في نشأة صناعة الهياكل المحلية للباصات السفرية لأن الشاحنة TK20 تناسب طبيعة السودان واتجهت الانظار اليها لكي تكون بصاصاً سفرياً حيث صار هنالك اكثر من شركة متخصصة في صناعة هياكل الباصات السفرية فكان في البداية تصميمها تقليدياً وكان الهيكل ضعيفاً والمقادير غير مردودة وخطرة الاستعمال بالنسبة للمواطنين مما حدى حكومة السودان ممثلة في الهيئة العامة للمواصفات والمقاييس في وضع مواصفات للصناديق المصنعة محلياً ( بص نيسان ) وذلك لضمان سلامة وراحة المواطنين .

يتناول هذا البحث دراسة في تصميم هذه الهياكل حيث تناولت الدراسة حساب الأعمال المكونة للهيكل على حسب المواصفات الموضوعة وطريقة التصنيع في الورشة وتم تحديد مركز النقل للبص واثر الاحمال على المحاور والشاسيه وتحليل المقاومات الناشئة في حالة التصميم الجديد وتحديد سرعات الانزلاق والانقلاب في المنعطفات ذات الأقطار المتباينة كما قامت الدراسة بتحديد الذبذبات الطبيعية لاهتزاز البص .

## الفصل الأول

### تحليل الهيكل

صمم الهيكل الحالي بناءً على المواصفات الصادرة من الهيئة العامة للمواصفات والمقياس وجميع مكوناته من الحديد المطاوع ذو الكثافة  $7800\text{kg/m}^3$

#### 1- حساب كتلة مكونات الهيكل:

الجدول التالي يوضح كتل الإجراء المختلفة المكونة للهيكل كما جاء في المعايير:-

القطعة	النوع	المقادير (m w)	الطول (w)	عدد القطع	الكتلة (kg)
العلبة	مواسير مربعة	$50.8*50.8*4$	7.4	9	370
رباط اس-ف الأرضية	زاوية	$50.8*50.8*4$	1	48	145.9
زاوية خلفية	زاوية	$50.8*50.8*4$	2.5	1	7.6
رباط الجوانب	زاوية	$25.4*25.4*2$	1	56	42.7
رباط القوائم	زاوية	$25.4*25.4*2$	1	64	50.6
رباط السقف	زاوية	$25.4*25.4*2$	1	80	60.9
الأرضية	لوح	3.2	8.1	1	505.4
السقف	لوح	0.8+1.6	8.1	1	366
الجوانب	لوح	0.8+1.6	8.1	1	404
المؤخرة	لوح	0.8+1.6	2.5	46	62
المقاعد	مواسير	19	4	2	275
دعامة الشاسيه	زاوية	$76.76*4$	9.95		166

كما وجد أن الكمية التي توضع عرضياً بين عارضتي الشاسيه ويثبت عليها القائم والتي عمقها 11mm وعرضها 64mm وسمك وترتها والشهفة 4mm والتي تكون بطول 2.5m وكتلتها تساوي 18.72kg أو لتسع كرات 168.

كما نجد أن كتلة العرش المسموح به هي 3000kg والكتلة المتوسطة للركاب وعددهم 46 راكب تساوي 3000kg وكتلة الكبانية والشاسيه 5030kg

ومن هنا يتضح أن مجموع كتلة مكونات البص بالعش وراكب تساوي 13636kg وهي أقل من الحمولة المسموح بها بالنسبة للشاحنة والتي تبلغ 16500kg.

### 2.1.2 تحديد مركز الثقل للبص بدون الركاب والغافر

إذا أمكن تقسيم الجسم إلى القسمات الموضحة في الشكل (2.1) فإن مركز الكتلة يمكن أيجاده من الآتي :

العزم للكتلة الكلية حول محور يساوي مجموع العزوم لكتل القطع المختلفة حول نفس المحور وبما أن القطع المختلفة المكونة لهيكل البص موزعة بالنظام وتماثل في الشكل لذلك يمكن اعتبار أن مركز الكتلة لجزء هو المركز الهندسي لذلك الجزء أو عليه مما سبق في 2.1.1 نجد ان :

$m_1 = \text{كتلة الكابينة وتساوي } 4556 \text{ Kg}$  ،  $m_2 = \text{كتلة الجزء الأعلى من الصندوق والذي يبدأ من أسفل الشباك ويشمل السقف ومكوناته والعلبة الكاملة للقائم ونجد لها تساوي } m_2 = 9 \times 26.83 + 23.4 + 60.92 + 367.38 = 693.17 \text{ kg}$

$m_3 = \text{كتلة الجزء الأسفل وتحتوي الأرضية ومكوناتها والمقادير والجوانب والعلبة المفتوحة والآخره } 0.81 \text{ من كتلة الشاسيه ودعامته وهي تساوي }$

$$m_3 = 9 (14.27 + 18.72) + 145.86 + 7.61 + 27.22 + 42.67 + 505.44 + 302.64 + 46.8 + 101.4 + 15.6 + 257.4 + 0.81 (624 + 166.61) = 2389.9 \text{ kg}$$

ويأخذ العزوم من مؤخرة البص :

$$\bar{X} = \frac{m_1 \cdot \bar{X}_1 + m_2 \cdot \bar{X}_2 + m_3 \cdot \bar{X}_3}{m} \quad (1)$$

حيث  $\bar{X}$  بعد مركز الكتلة من مؤخرة البص  
ومن الشكل (2.1) نجد أن

$$\bar{X} = \frac{9.025 \times 4556.2159 + 4.05 (693.17 + 2389.9441)}{7639.33} = 6.47 \text{ m}$$

$$\bar{y} = \frac{m_1 \cdot \bar{y}_1 + m_2 \cdot \bar{y}_2 + m_3 \cdot \bar{y}_3}{m} \quad (2)$$

$$\begin{aligned} \bar{y}_1 &= 0.585 \text{ m} , \bar{y}_2 = 2 \text{ m} , \bar{y}_3 = 0.75 \text{ m} \\ \bar{y} &= \frac{0.585 \times 4556.2159 + 2 \times 693.17 + 2389.9441 \times 0.75}{7639.33} = 0.77 \text{ m} \end{aligned}$$

### 3.1.2 تحديد مركز الثقل باعتبار الركاب والغافر :

عند إضافة وزن الغافر وهو 3000kg إلى الكتلة  $m_2$  تصبح

$$m_2 = 693.17 + 3000 = 3693.17 \text{ Kg}$$

وزن الركاب 2700 Kg إلى الكتلة  $m_3$  تصبح

$$m_3 = 2700 + 2389.9441 = 5089.9 \text{ Kg}$$

ومن المعادلات (2.1), (2.2) نجد أن

$$\bar{y} = 1.03 \text{ m} \qquad \bar{X} = 5.75 \text{ m}$$

من هنا نجد ان مركز الثقل في حالة الحمولة الكاملة يكون قريبا من المحور الخلفي شكل (3.1) وعلى بعد 2m تقريبا مما يعمل على إمكانية انقلاب البص حول المحور الخلفي في حالة الصعود الى المنحدرات بسرعة عالية .

#### 4.1- مخططات قوى القص وعزم الانحناء :-

لعارضة البص الموضحة في الشكل (1.3) وزع الأحمال كالتالي :-

وزن الهيكل موزع على التسع قوائم 4.6kg

وزن الشاسيه والدعامة 0.4kN/m

وزن الماكينة 12.4kN/m

وزن التاسيه 1.85m

ثُم أيجاد ردود الأفعال على النحو آلاتي :-

عند المحور الامامي  $RF=28KN$  ، عند المحور الخلفي  $RR=40kN$

ومن ثم رسم مخططي قوة القص وعزم الانحناء شكل (1.4) حيث وجد ان أقصى عزم انحناء يوجد عند المحور الخلفي وتبلغ قيمته 42MNm ،

#### 5.1- توزيع الأجهادات على المقطع العرضي للعارضه .

1.5.1 بدون استخدام دعامة .

من الشكل (1.5) نجد ان المحور المحايد يمر بمنتصف العارضة للتماثل وعلى بعد 0.135m من الاسفل ومن نظرية المحاور المتوازية يكون العزم الثاني للمساحة للمقطع .

$$I=53.5 \cdot 10^6 m^4$$

$$\frac{M}{Y} = \frac{M_{max}}{I}$$

ومن المعادله (مرجع 2)

ومنها نجد ان  $\sigma = 106 MN/m^2$  وهو أقصى إجهاد واقع على المقطع

2.5.1- باستخدام دعامة .

من الشكل (1.6) وعند استخدام دعامة بالإبعاد الموضحة نجد ان

$$I=71.7 \cdot 10^6 m^4$$

$$Y=0.135m$$

ومن المعادلة عاليه نجد ان  $\sigma = 79 MN/m^2$

ومن هاتين القيمتين للإجهاد وخاصة في حالة استخدام الدعامة نجد أن الإجهاد الأقصى المسموح به للحديد المطاوع المستخدم في عمل الدعامة أقل من هذا الإجهاد (79MN/m) وعليه لا يبرر استخدام هذه الدعامة من الحديد المطاوع الذي يتراوح إجهاده الأقصى بين (50-60MN/m<sup>2</sup>) وإذا كان لابد من استخدامها يمكن تغييرها بأخرى ذات أبعاد أكبر .

## الفصل الثاني

### المقاومات الناشئة من حركة المركبة

في حالة سير المركبة تتعرض لعدة مقاومات منها

#### 2- مقاومة التدحرج:-

تشكل مقاومة التدحرج أساساً تغير شكل الإطارات أو الطريق كما تشمل أيضاً احتكاك المحور .  
ونجد أن مقاومة التدحرج للسيارة تزيد بزيادة الضغط المنخفض جداً في الإطارات ومقاومة التدحرج  $R_r$  تعرف بالقوة المطلوبة فقط لتحريك المركبة عند سرعة منتظمة مطابق على المستوى .  
تزيد المقاومة بزيادة الحمل وتتأثر بدرجة حراره تشغيل الإطارات أما سرعة المركبة فيها تأثير صغير تحت ظروف التشغيل العاديه ولكن السرعات العالية تنتج زيادة حاده في المقاومة .  
وإذا اعتبر وزن البص فان

$$R_r = K W \quad (2-1)$$

حيث  $W$  وزن البص ويساوي 137KN

$K$  معامل مقاومة التدحرج ويساوي  $(5.9 \cdot 10^3)$  لطريق معداً) مرجع (ز)

$$\therefore R_r = 808N$$

أما في حالة الطرق المتحدره فهي

$$R_r = K_w \cos \theta$$

حيث  $\theta$  زاوية ميلان المنحدر

#### 2- مقاومة الهواء:-

وهي عبارة عن مقاومة تنشأ بواسطة الهواء أثناء حركة المركبة وهي ذات أثر على أداء المركبة وتعتمد على شكل وحجم المركبة والمساحة المقطرة الإمامية وسرعة الهواء ، عند حساب مقاومة الهواء تعتبر سرعة المركبة هي سرعة الهواء عليه

$$R_a = K_a A V^2 \quad (2-2)$$

$K_a$  معامل مقاومة الهواء بالـ  $N \cdot hr^2 / m^2 \cdot km^2$

وهو للشاحنات 0.045 مرجع رقم (3)

$V$  سرعة المركبة باـ  $km/hr$

$A$  المساحة المقطرة الإمامية بالـ  $m^2$  وتحسب من

$$A = 0.9 * \text{body height} * \text{wheeltrak}$$

مرجع رقم (1)

والبص

$$A = 0.9 * 205 * 5.5 = 504m^2$$

$$\therefore R_a = 0.24V^2$$

ومن المعادلات عالية نجد ان المقاومة الكلية لطرق مستوية تساوي مجموع المقاومات :

$$\therefore R = R_r + R_a \\ = 808 + 0.24V^2$$

رسم المخطط 1 الذي يوضح السرعة بالـ Km/hr ضد المقاومة بالـ N من المخطط نجد ان مقاومة التدرج تكون ثابتة عند قيمة محددة ولا تتغير بتغيير السرعة لأنها تعتمد على الوزن ومعامل مقاومة التدرج وهم ثوابت .

أما مقاومة الهواء فتناسب تناضباً طردياً مع مربع السرعة وهي مقاومة ذات أثر كبير ويتم تقديرها بخفض المساحة المسقطة الأمامية لهيكل البص وذلك بتقليل زاوية السقوط بالنسبة للهواء بحيث يتباطأ سير الهواء حتى ينفصل في المؤخرة بدون دوامة تعيق مسيرة البص

### الفصل الثالث

#### سرعة الانزلاق والانقلاب

أن حركة المركبة في منعطف تكون تحت تأثير قوتين هما الوزن الى اسفل والجذب المركزي التي تعتمد على سرعة المركبة ولكن لا يحدث انزلاق وانقلاب لابد ان تكون هاتين القوتين في حالة اتزان

3- سرعة الانزلاق والانقلاب في منعطفات مستوية

اعتبر مركبة كثتها  $m$  تمر حول منعطف أفقى نصف قطره  $r$  بسرعة ثابتة  $v$  فان قوة الجذب المركزي على هذه المركبة ستكون  $\frac{mv^2}{r}$ .

اجعل ردود الأفعال عند العجلات هما  $N_1, N_2$  والقوة الاحتاكية بين العجلات وسطح الطريق هما  $F_1, F_2$  على الترتيب كما هو واضح في الشكل رقم (١-٣) .

هذه القوة الأربع يمكن إحلالها بالمحصلة  $R$  والتي تكون مائلة مع المستوى المتعامد مع الطريق بزاوية احتكاك ( $\alpha$ ) .

إذا لم يكن هناك دوران حول مركز الثقل  $G$  فان محصلة القوة  $R$  يجب أن تمر خلال  $G$  كما هو واضح في الشكل رقم (١-٣-b) وهكذا فان المركبة تكون متعرضة لقوتين فقط ، وزنها والمحصلة  $R$  وقيمة  $R$  فقط هي التي تعطي قوة الجذب المركزي الضرورية لبقاء حركة المركبة في الممر الدائري وتصبح المركبة الأفقية للمركبة

$$R \sin \alpha = m \frac{v^2}{r} \quad (8)$$

المركبة الأساسية

$$R \cos \alpha = 9.81 m \quad (9)$$

وبقسمة المعادلة (٩) على (٨) سنحصل على

$$\tan \alpha = \frac{v^2}{9.81 r}$$

من الشكل رقم (١-٣-a) يمكن ملاحظة أن المركبة الأفقية لـ  $R$  مساوية لمجموع القوي الاحتاكية المتولدة بين العجلات والأرض وهي  $(F_1+F_2)$  .

عندما يتم الوصول إلى الحالات الحدية للاحتكاك فان الزاوية  $\alpha$  ستصل إلى قيمتها القصوى  $\theta$  (زاوية احتكاك الحدية) وأيضاً ستصل قوة الجذب المركزي على أقصى قيمة ممكنة وهذا ، من المعادلة (١٠) عندما  $\alpha = \theta$  ، فان

$$\tan \theta = \frac{v^2}{9.81 r} \quad (11)$$

حيث  $\mu$  معامل احتكاك بين العجلات والطريق

$$\therefore v^2 = 9.81 \mu r$$

$$v = \sqrt{9.81 \mu r} \quad (12)$$

وهذه هي السرعة القصوى لمركبة تمر في منعطف نصف قطره المعطى  $r$  ، وسيحدث انزلاق المركبة إذا زادت السرعة عن هذه القيمة . من الممكن لمركبة أن تنقلب حول إطاراتها الخارجية قبل أن تصل إلى سرعة الانزلاق . عندما تقرب المركبة من الانقلاب فان رد الفعل المتعامد  $N_1$  وقوى احتكاك  $F_1$  ستكون مساوية للصفر وهذا فان الوزن الكلى للمركبة سينتقل إلى الإطارات الخارجية كما هو واضح في الشكل رقم (١-٣-ج) .

إذا كانت المسافة بين مركزي الإطارين هي  $a$  وارتفاع مركز كتلة المركبة فوق سطح الطريق هو  $h$  فان

$$\tan \alpha = a/h \quad \dots \dots \quad (13)$$

شكل رقم ٣.٢ (مركبة تقترب من الانقلاب على منعطف أفقى) بالتعويض في المعادلة  $\text{---}$  تعطي :-

$$a = \frac{V^2}{h} \quad \dots \dots \quad (14)$$

$$h = \frac{9.81 ar}{V} \quad \dots \dots \quad (15)$$

المعادلة (15) توضح أن ميل المركبة للانقلاب يتوقف على أبعادها لأن زيادة قاعدة العجل أو خفض مركز الكتلة سيتمكن المركبة من الدوران في منعطف بسرعة متزايدة.

### ج. ٢. سرعة الانقلاب والانقلاب في منعطفات مائلة :

سيتم الآن اعتبار حالة مركبة تدور حول منعطف مائل بزاوية  $\Theta$  على المحور الأفقي.

شكل رقم (٣.٤) في هذا الشكل (a . ٣.٤, N2, N1, F2, F1) مرة أخرى هما ريدو الأفعال المتعامدة والقوى الاحتكاكية عند العجلات على الترتيب.

محصلة رد الفعل  $R$  لهذه القوى الأربع ما زال مائلة بزاوية  $\alpha$  على المستوى المتعامد مع الطريق ولكنها الآن مائلة بزاوية  $(\alpha + \Theta)$  مع خط عمل وزن المركبة كما هو واضح في الشكل (٣.٤.b)

بنفس الاجراءات التي اتبناها سابقا في المنعطفات المستوية

$$RSIN(\alpha + \Theta) = mV^2/r \quad \dots \dots \quad (16)$$

$$RCOS(\alpha + \Theta) = 9.81m \quad \dots \dots \quad (17)$$

وبقسمة المعادلة (16) / (17) % سنحصل على

$$\tan(\alpha + \Theta) = V/9.81m \quad \dots \dots \quad (18)$$

هذه المعادلة يجب مقارنتها بالمعادلة (15) للطرق الأفقية.

بإعادة ترتيب المعادلة (18) وبفك  $\tan(\alpha + \Theta)$  سنحصل على

$$\sqrt{9.81r} = 9.81r(\tan \alpha + \tan \Theta) \quad \dots \dots \quad (19)$$

$$1 - (\tan \alpha \cdot \tan \Theta)$$

في حالة طريق معد هناك حالتان يتم اعتبارها :-

/ عندما  $\alpha = 0$  ، فإن رد الفعل  $R$  سيكون متعامدا مع الطريق وهكذا فانهلا يكون هناك احتكاك

$$N1 = N2 = N, \quad F1 = F2 = 0$$

كما هو واضح في الشكل رقم (٣.٤.c)

من المعادلة (19)

$$V = 9.81r \tan \Theta \quad (20)$$

$$\tan \alpha = 0$$

بما أن

$$\tan \Theta = V / 9.81 r$$

الزاوية  $\Theta$  في هذه المعادلة هي الزاوية التي لا يكون فيها ميل للإنزلاق لأنه ليس هناك احتكاك.

ولأن  $N_2 = N_1$  فان المركبة لن تقلب . أيضا في هذه الحالة يجب ملاحظة أن المكونات الأفقية لرد الفعل المتعامد  $N$  تعطي قوة الجذب المركزي وان هذا الوضع يمكن أن يتواجد في سرعة واحدة فقط يمكن إعطاؤها كالتالي :-

$$V = \sqrt{9.81 r \tan \Theta} \quad (21)$$

b/ عندما تكون المركبة على نقطة الانقلاب فإنه لا يوجد رد فعل عند جانب الإطار الداخلي ومحصلة رد الفعل  $R$  ستعمل بالكامل على الجانب الخارجي للإطارات كما هو واضح في الشكل رقم (٣) حيث

$$\tan \alpha = a/h$$

بالتعويض عن  $\tan \alpha$  في المعادلة (19)

$$V^2 = 9.81 r (a/h) + \tan \Theta \quad (22)$$

هذه المعادلة يمكن تطبيقها فقط إذا كان الاحتكاك كاف للسماح للمركبة بالدوران حول الجانب الخارجي للإطارات :

$$i. e \tan \Theta > \tan \alpha$$

$$\mu > a/h$$

أما إذا كان الاحتكاك غير كاف فإن الإنزلاق سيحدث قبل الوصول إلى نقطة الانقلاب وهذا

$$\tan \Theta < \tan \alpha$$

$$\mu < a/h$$

تحدث الحالة الحدية (liwifing condition) للإنزلاق عندما :

$$\tan \alpha = \tan \Theta = \mu$$

وهكذا فإن السرعة القصوى للإنزلاق هي

$$V = \sqrt{\frac{9.81 r (\mu + \tan \Theta)}{1 - \mu \tan \Theta}} \quad (23)$$

المعادلات 12 ، 15 يمكن تكوين الجدول رقم 3  
والمعادلات 22، 23 ممكّن تكوين الجداول 4، 5 لزوايا أقطار مختلفة وزوايا ميلان متغيرة في حالة  
المركبة بدون عفش وركاب في حالة الحمولة الكاملة  
حيث  $\alpha = \frac{1}{2} \times \text{قطر المنعطف}$

$k_{\text{ل}} = \text{معامل الانتكاك بين الطريق وهو للطرق المسفلة } 0.15 \text{ (هندسة الطرق)}$   
 $h = \text{ارتفاع مركز الكتلة من الأرض وهو } 1.88 \text{ عند الحمولة الكاملة و } 1.32 \text{ عند الحمولة غير}$   
 $\text{ال الكاملة (دون عفش وركاب)}$

$a = \text{نصف المسافة بين مركزي العجلين الخلفيين الإماميين وبتضخ من الجداول المذكورة عالية أن}$   
 $\text{سرعتي الانزلاق والانقلاب تزيد بزيادة نصف قطر المنعطف وأيضاً تزداد نسبياً في المنعطفات المائلة}$   
 $\text{لنصف انصاف الأقطار والسرعات الموضحة في هذه الجداول هي السرعات الحدية بعدها مباشرة يمكن}$   
 $\text{للمركبة ان تنزلق أو تقلب .}$

#### الفصل الرابع

#### الاهتزازات الرأسية المروة

الاهتزاز حسب تعريفه هو عبارة عن حركة دورية حول وضع الاتزان وفي هذه الحالة هو مركز

الكتلة G

من الشكل رقم 1.4

$$\tan \Theta = \Delta x / a$$

$$\Delta x = a \tan \Theta$$

إذا كانت الزاوية  $\Theta$  صغيرة جدا بحيث يمكن تجاهلها

$$\Delta x = a \Theta$$

الطرف الأيسر

$$\Delta x = b \Theta$$

الطرف الأيمن

#### 2.5.1 معادلات الحركة (Equation of motion)

/1 معادلة الحركة الخطية (Equation of translational motion)

$$-k_1(x-a\Theta) - k_2(x+b\Theta) = \omega_m x \\ = -m\omega^2 x$$

يمكن ترتيبها كالتالي :-

$$(m\omega^2 - k_1 - k_2)x + (k_1a - k_2b)\Theta = 0 \quad (1)$$

/2 معادلة الحركة الزاوية (Equation of angular motion)

$$k_1(x-a\Theta)a - k_2(x+b\Theta)b = I_G\Theta = -I_G\omega^2\Theta$$

يمكن ترتيبها كالتالي :-

$$(k_1a - k_2b)x + (I_G\omega^2 - k_1a^2 - k_2b^2)\Theta = 0 \quad (2)$$

بوضع المعادلتين (1) و (2) عالية في شكل مصفوفة وباجداد المحددة لها لتحديد قيمة  $\omega$

$$\begin{bmatrix} (m\omega^2 - k_1 - k_2) & (k_1a - k_2b) \\ (k_1a - k_2b) & (I_G\omega^2 - k_1a^2 - k_2b^2) \end{bmatrix} \begin{bmatrix} x \\ \Theta \end{bmatrix} = 0$$

$$mI_G\omega^4 - m\omega^2(k_1a^2 + k_2b^2) - k_1I_G\omega^2 + k_1^2a^2 + k_1k_2b^2 - k_2I_G\omega^2 + k_1k_2a^2 + k_2^2b^2 - (k_1^2a^2 - 2k_1k_2ab + k_2^2b^2) = 0$$

حيث يمكن اختصارها في المعادلة التالية :-

$$mI_G\omega^4 - \omega^2 \{m(k_1a^2 + k_2b^2) + I_G(k_1k_2)\} + k_1k_2(a+b)^2 = 0 \rightarrow (3)$$

بقسمة طرف المعادلة %

$$\omega^4 \cdot \left\{ \frac{(k_1 a^2 + k_2 b^2) + (k_1 + k_2) \frac{\omega n^2}{m} + k_1 k_2 b^2 (a+b)^2}{I_G m} = 0 \right\} \rightarrow 1$$

لإيجاد قسمة  $\omega$  (التردد الطبيعي) فإننا في البداية نحتاج لإيجاد قيم  $I_G, k_1, k_2, a, b$ .

٤-٢- إيجاد كثافة اليايات الورقية :-

يرتبط عمل اليايات الورقية (LEAF SPRINGS) شكل رقم (٤-٢) من حيث مقداره

بالأطوال غير المتساوية لشرائح الياي الواحد ويوجد الاحتكاك بينهما أثناء ثبيتها ، والاحتكاك يدخل

في صيغة حساب مقدار الانحناء في الياي بواسطة العامل  $[k]$  . وتقوس الياي يهم في الحسابات

للعملية . وفي التقريب الأول يمكن افتراض أن الجهد المؤثر على الياي موزع بين شرائحه بالتساوي ،

أي أن الجهد على الشريحة الواحدة يساوي  $P/i$  حيث  $i$  هو عدد الشرائح الكلية في الياي .

$$L_1 = L_2 = 0.5L$$

إذا كان  $P$  هو الحمل بالـ kg ، والإجهاد المسموح به يتراوح بين  $(4500 - 6000) \text{ kg f/cm}^2$

إجهاد الإنحناء الأقصى : نصريج (٤)

$$\sigma = \frac{3PL}{2ibn^2} \quad (1)$$

التشوه في الياي :

$$\lambda = \frac{KPL^3}{ibh^3} \quad (2)$$

حيث :

$K$  = معامل التصحيف ويساوي 1.5 ، فالمعدن الذي يصنع منه الياي هو الصلب الكربوني ذو نسبة الكربون العالية .

$E$  = معاير المرنة في حالة الشد والانضغاط =  $2 \times 10^6 \text{ KG/cm}^2$

$i$  = عدد الشرائح .

$h, b$  = هما عرض وسمك الشريحة الواحدة على الترتيب .

$L$  = طول الشريحة .

$$h = \frac{1}{12} \times 10.6 KL^2 \frac{6}{\lambda} \longrightarrow (3)$$

$$i b = \frac{3pL}{2h^2} \longrightarrow (4)$$

وترواح قيم  $k$  بين (1.25 - 1.50) (سرعه)

حيث طول اليابس الورقية عند المحور الخلفي

وطول اليابس الورقية عند المحور الأمامي

للحملة الكلية للبص :-

$$m = 13830.33 \text{ kg}$$

$$h = 1 \text{ cm} = 0.01 \text{ m}$$

$$b = 9 \text{ cm} = 0.09 \text{ m}$$

$$i = 2 \times 9 = 18$$

$$R_R = 40064.23 \text{ N}$$

(عند المحور الخلفي)

باستخدام المعادلة (2) ،

$$\lambda = \frac{KPL^3}{4Eibh^3}$$

$$E = 2 \times 10^6 \times 10^4 \times 9.81 = 19.62 \times 10^{10} \text{ N/m}^2$$

$$\lambda = \frac{1.5 \times 40 \times 10^3 \times (1.64)^3 \times (0.5)}{4 \times 19.62 \times 10^{10} \times 18 \times 0.09 \times (0.01)^3} = 0.208 \text{ m}$$

التشوه الكلي في البص = 0.208 m

قدرة الانفعال في البص ،

$$F = K \lambda$$

$$K_l = K_R = \frac{F}{\lambda} = \frac{40064.23}{0.208} = 19214 \text{ KN/m}$$

ثانياً عند المحور الأمامي

$$R_F = 25375.17 \text{ N}$$

باستخدام المعادلة (2) وبوضع :

$$L = 1.48 \text{ m}$$

$$K = 1.5$$

$$i = 9$$

$$b = 0.09$$

$$\lambda = \frac{1.5 \times 2.8 \times 10^3 \times (1.48)^3}{4 \times 19.62 \times 10^{10} \times 9 \times 0.09 \times (0.01)^3} = 0.214 \text{ m}$$

$$K_2 = K_F = \frac{F}{\lambda} = \frac{28.15^3}{0.214}$$

$$= 130.0 \text{ KN/m}$$

٤-٣-٦ تحديد عزم القصور الذاتي حول المحور Z :

من الشكل (٤-٧) يتضح أن :

كتلة الكابينة :

$$m_1 = 4556.2 \text{ kg}$$

كتلة السقف :

$$m_2 = 3559 \text{ kg}$$

كتلة الجزء الخلفي :

$$m_3 = 68.5 \text{ kg}$$

كتلة الجانبين :

$$m_4 = 2 \times 610.2 \text{ kg}$$

كتلة الأرضية :

$$m_5 = 3934.2 \text{ kg}$$

إيجاد عزم القصور الذاتي حول المحور Z بمركز كتلة البص C.G باستخدام نظرية المحاور المتوازية بجسم مفرغ وهنا يمثل .

$$I_Z = \frac{m_1}{12} (a^2 + d^2) + m_1 h_1^2$$

حيث a تمثل البعد العمودي بمركز الكتلة المعينة عن مركز كتلة البص C.G و الجسم مفرغ وهنا يمثل هيكل الصندوق .

$$I_{Z2} = \frac{m_2}{12} E^2 + m_2 h_2^2$$

$$I_{Z3} = \frac{m_3}{12} b^2 + m_3 h_3^2$$

$$I_{Z4} = \frac{(m_4)}{12} (b^2 + E^2) + m_4 h_4^2 \times 2$$

$$I_{Z5} = \frac{(m_5)}{12} E^2 + m_5 h_5^2$$

$$h_1 = 3.36 \text{ m}$$

$$h_2 = 1.75 \text{ m} = h_5 = h_4$$

$$h_3 = 5.8 \text{ m}$$

$$I_{Z1} = \frac{4556.2159}{12} (1017^2 + 1085^2) + 4556.2159 \times (3.36)^2$$

$$I_{Z1} = 53257.076 \text{ kgm}^2$$

$$I_{Z2} = \frac{355902}{12} \times (801)^2 + 355902 \times (1075)^2 = 30359.976 \text{ kgm}^2$$

$$I_{Z_3} = \frac{6805 \times (205)^2 + 6805 \times (508)^2}{12} = 2340.017 \text{ kgm}^2$$

$$I_{Z_4} = \frac{1}{2} \frac{610.3371 \times (2.5^2 + 801^2) + 610.3371 \times (1.75)^2}{12}$$

$$I_{Z_4} = 11048.12 \text{ kgm}^2$$

$$I_{Z_5} = \frac{3934.74 \times (8.1)^2 + 3934.74 \times (1.75)^2}{12} = 33663.33 \text{ kgm}^2$$

$$I_Z = 53257.076 + 30359.976 + 2340.017 + 11048.12 + 33563.33 =$$

$$I_Z = 130568.52 \text{ kgm}^2$$

#### ٤-٤ تحليل الاهتزازات :-

بوضع :

$$m = 130568.52 \text{ kg}$$

$$I_G = 130568.52 \text{ kgm}^2$$

$$K_1 = 3841 \text{ kn/m}$$

$$K_2 = 280.5 \text{ kn/m}$$

$$a = 2.8 \text{ m}$$

$$b = 2.3 \text{ m}$$

بتغويض القيم اعلاه في المعادلة (4)

$$\omega_n^4 - \frac{(k_1 a^2 + k_2 b^2) + (k_1 + k_2) \omega_n^2 + \frac{k_1 k_2 (a+b)^2}{m I_G}}{m} = 0 \longrightarrow (4)$$

$$\omega_n^4 - 8089 \omega_n^2 + 14585$$

من معادلة الحل العام :

$$\omega_n^2 = \frac{-b \pm \sqrt{b^2 + 4ac}}{2a}$$

$$a = 1, b = -8089, c = 14585$$

نجد أن :

$$\omega_n^2 = 40.8 \pm 35.6$$

ومنها :

$$\omega_n^2 = 76.2 \text{ rad/sec}$$

$$\omega_n = 8.7 \text{ rad/sec}$$

وهي الذبذبات الطبيعية للاهتزاز الحر الرأسي للبص .

## الفصل الخامس

### مناقشة النتائج

من التحليلات السابقة وجد ان وزن الصندوق لا يتجاوز الوزن المسموح به في التصميم الأصلي 16.5ton في حالة الحمولة الكاملة ولكن الزيادة في طول الشاسيه الاصلي والتي صممت لزيادة عدد المقاعد الخلفية تعمل على جعل مركز الثقل ان يكون قريبا من المحور الخلفي مما يساعد على الدوران حوله في حالة السرعات العالية في الصعود الى المنحدرات الصغيرة .

كما وجد ان اقصى جهاد في مقطع عارضة البص يساوي  $79MN/m^2$  في حالة وجود دعامة على طول الشاسيه الاصلي وهي مصنوعة من الحديد المطاوع التجاري والذي يتراوح اجهاده الاقصى المتعامد  $50-60MN/m^2$  وعليه فان الدعامة المستخدمة بالابعاد الموجودة لا تبرر استخدام الحديد المطاوع وادا كان لابد من استخدامها في هذه الزيادة يجب استخدام دعامة بابعاد اكبر حتى يمكن من استخدام الفولاذ الطري .

ووجد ان المقاولات الناشية من حركة المركبة تعتمد على الوزن كما في حالة مقاومة التدرج التي بلغت قيمتها N808 وهي مقاومة ثابتة في كل الحالات ولكن المقاومة الناتجة من الهواء تزيد بازدياد السرعة لانها تعتمد على مربع السرعة الشكل .

كما وجد ان بعد مركز الثقل الراسى يحدد سرعات الانزلاق والانقلاب في المنعطفات وذلك لان العزم الناتج من حركة المركبة في منعطف تعتمد على هذا بعد بالإضافة الى البعد بين الاطارات الخلفية او الامامية وهذا بعد وجد انه مناسب تقريبا في حالة المنعطفات الموجودة في الطرق المحلية كما أنه يعطي سرعات مناسبة للسير وادا دعت الضرورة الى تقليله يمكن التحكم في توزيع الكتل من حيث الاوزان والابعاد ليعطي ارتفاع اقل .

ووجد ان هنالك قيمتان للتعدد الطبيعي في حالة الاهتزازات الراسية الحرء ونجد ان هنالك تقاوياً في التقسيمات ويعزى هذا لعدم وجود مركز الثقل في المنتصف وان رد الفعل الاساسى لا يساوى رد الفعل الخلفي ولذلك نجد ان الياتات في المحور الخلفي اكبر منها في المحور الامامي .

## **الاستنتاجات**

- 1/ الهيكل المصنوع لا يتجاوز حمولته الحمولة المسموح بها في التصميم الأصلي للشاحنة .
- 2/ مركز الثقل يميل كثيراً للمحور الخلفي في حالة الحمولة الكاملة .
- 3/ الارتفاع الرأسي لمركز الثقل مناسباً (1-3m) في حالة الحمولة الكاملة .
- 4/ اجهاد الشد والضغط في حال وجود دعامة على الشاسيه اقل بكثير عنها في حالة عدم وجود الدعامة وان قيمته لا تبرر استخدامها .
- 5/ مقاومة التدرج يمكن تقليلها بتنقليها بتقليل الوزن اما مقاومة الهواء فتعتمد على السرعة وشكل الهيكل .
- 6/ سرعة الانلاق والانقلاب تعتمد على نصف قطر المنعطف وبعد الرأسي لمركز الثقل وميلان سطح الطريق عند المنعطف .
- 7/ التقاويم في قيم الذبذبات الطبيعية الرأسمية يعني عدم وجود مركز الثقل في المنتصف واختلاف ردود الافعال والبيانات المستعملة .

### المراجع

- 1- JOHN FENTION VEHICLE BODY LAYOUT AND ANALYSIS  
FULMOST BY SANTYPE INTERNATIONAL LIMITED SALISHURY ,  
WILTS PRINTED BY : ST. Edmunds , Suffolk Mechanical Engineering  
Publication LTD , LONDON 1980
- 2- G-H RYDER , STRENGTH OF MATERIALS , HIGHER FURTHER  
EDUCATION DIVISION Macmillan Puplishers LTD LONDON AND  
BASINGSTOKE 1969
- 3-Dr .N.K.GIRI ,PROBLEM IN AUTOMOBILE MECHANICS , Publication By  
, Rolesh Chander Khanna , Khanna Publication 1988

4- شيركو شاكر فتاح نظرية السيارات , بغداد ١٩٨١

## الملاحة

### (أ) الجداول

جدول رقم (1):

سرعة الإنزال والانقلاب في منعطفات مستوية ( $\theta = 0$ )

سرعة الإنقلاب بالغضن والركاب (vt2)		سرعة الإنقلاب بدون الغشن والركاب (v4)		سرعة الإنزال		r(m)
Kmm	M/s	Km/u	m/s	Km/u	m/s	
40.1	11.14	46.92	12.2	19.53	5.425	20
56.74	15.76	62.1	17.24	27.62	7.672	40
69.48	19.3	76	21.12	33.82	9.396	60
80.2	22.29	89.84	24.4	39	10.85	80
89.7	24.92	98.14	27.26	43.7	12.13	100
98.3	27.3	107.5	29.86	47.84	13.29	120

جدول رقم (2):

سرعة الإنزال والإنقلاب في منعطفات مائلة ( $\theta = 15$ )

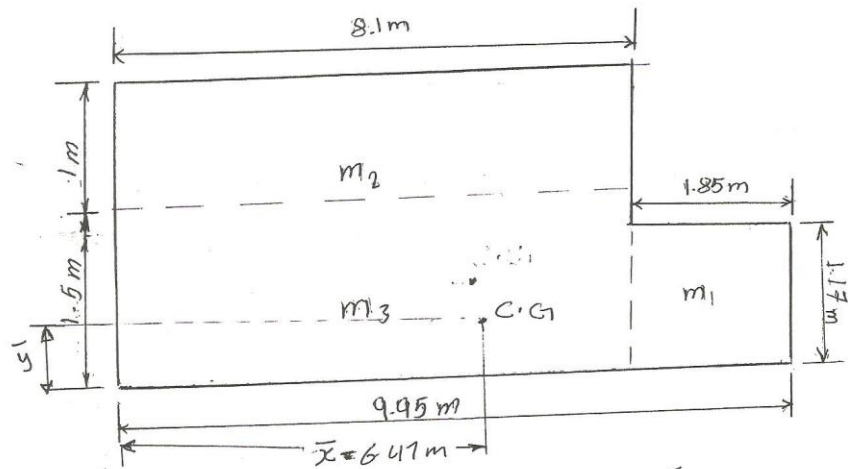
سرعة الإنقلاب بالغضن والركاب		سرعة الإنقلاب بدون الغشن والركاب		سرعة الإنزال (vs)		r(m)
Kmm	M/s	Km/u	m/s	Km/u	m/s	
52.5	14.589	57.204	15.89	26.1	7.25	20
74.27	20.63	80.892	22.47	36.91	10.254	40
90.97	25.269	99.072	27.52	45.2	12.558	60
105	29.178	114.408	31.78	52.2	14.50	80
117.4	32.62	128	35.53	58.35	16.21	100
128.65	35.74	140	38.92	64.8	18	120

جدول رقم (3):

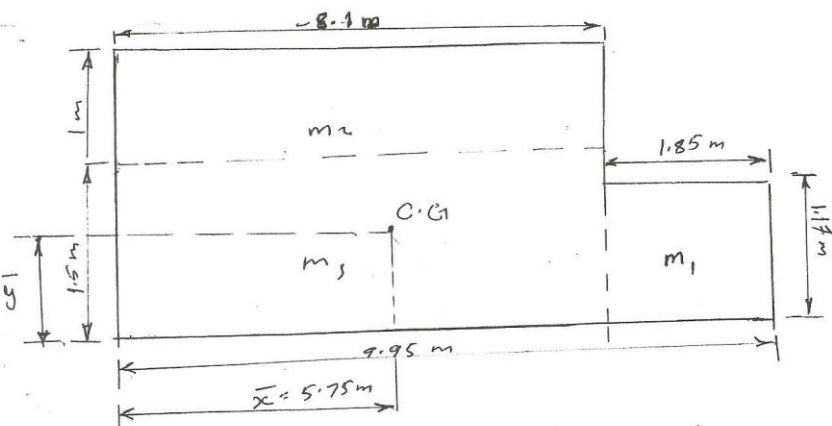
سرعة الإنزال والإنقلاب في منعطفات مائلة ( $\theta = 30$ )

سرعة الإنقلاب بالغضن والركاب		سرعة الإنقلاب بدون الغشن والركاب		سرعة الإنزال (vs)		r(m)
Km/hr	m/s	Km/hr	m/s	Km/hr	m/s	
69.6	19.34	77.68	21.58	38.3	10.64	20
98.5	27.36	109.84	30.51	54.2	15.052	40
120.6	33.5	134.5	37.37	66.35	18.43	60
139.28	28.69	155.34	43.15	76.64	21.29	80
155.7	43.25	173.7	48.25	85.64	23.79	100
170.57	47.38	190.26	52.85	93.85	26.07	120

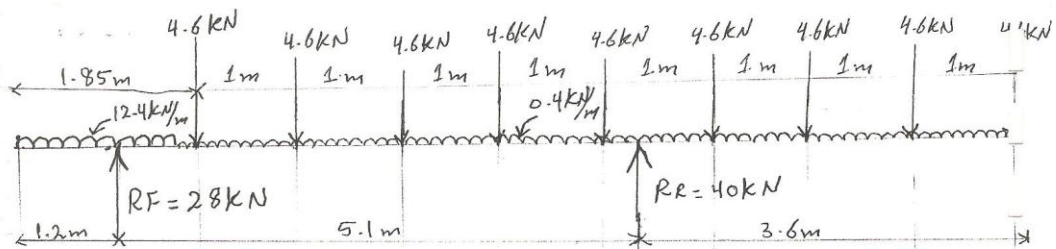
(ب) الرسومات



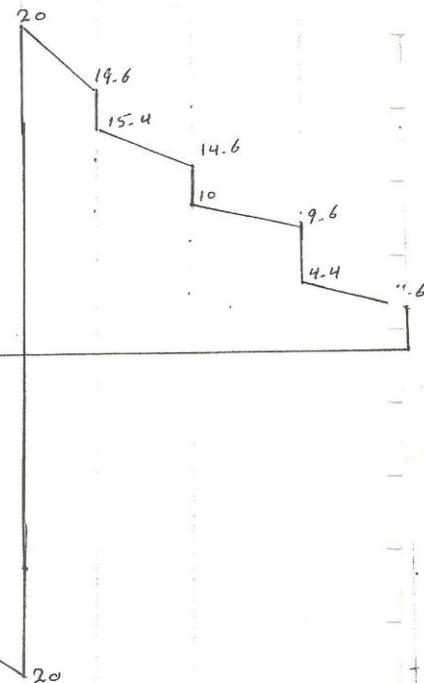
شكل (١-٢) مركز الشغل بدون العقش وارجاعي



شكل (١-٣) مركز الشغل بالعقش وارجاعي



مثلاً (1.3) العزمات الدورانية

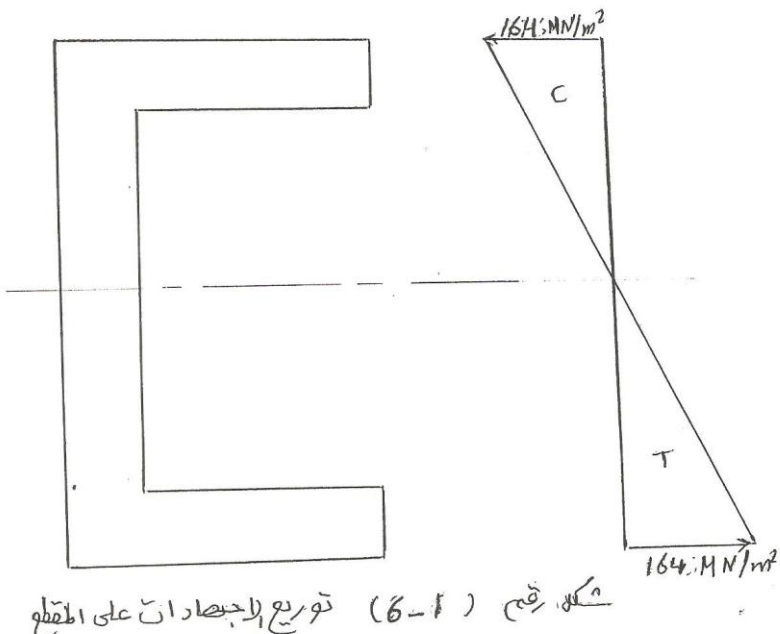
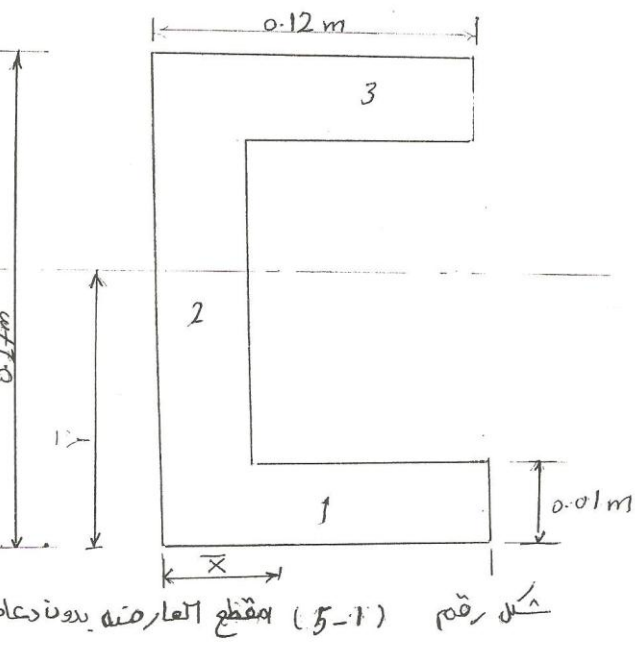


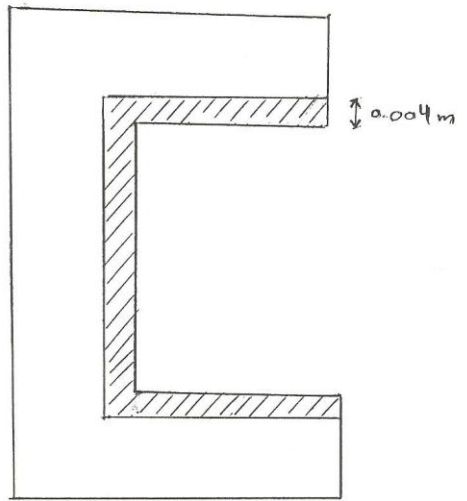
$9 \text{ kNm}$

$42 \text{ kNm}$

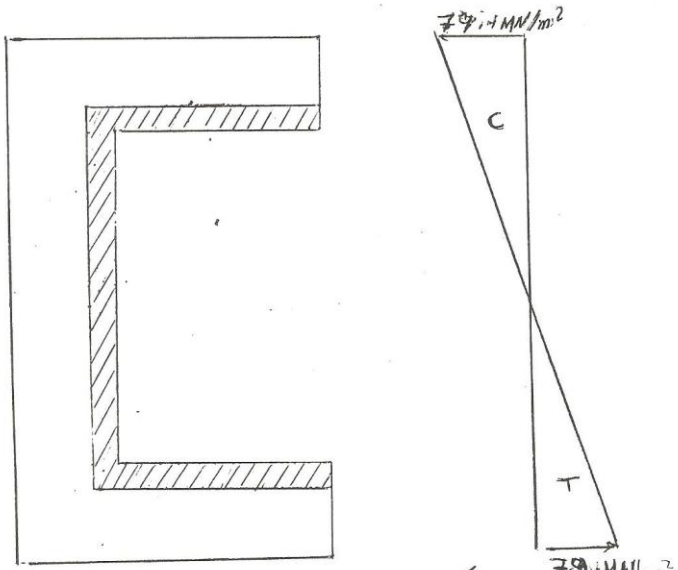
مثلاً (1.4) العزمات الدورانية

22

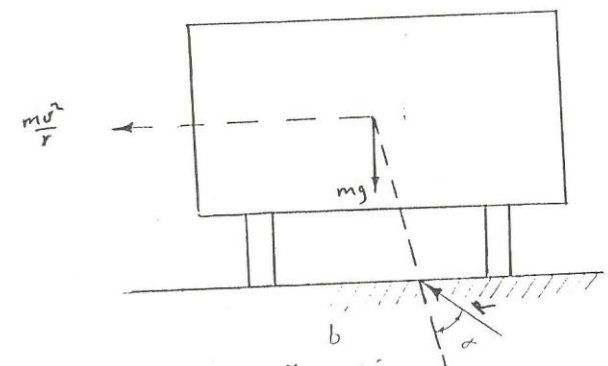
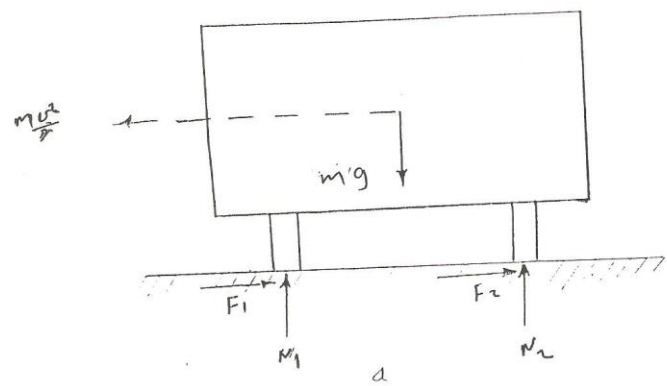
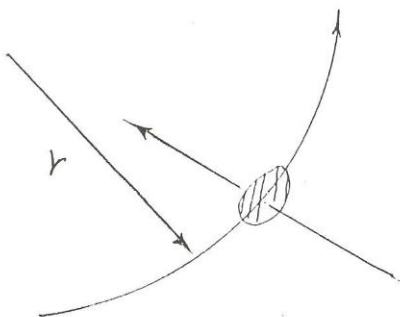




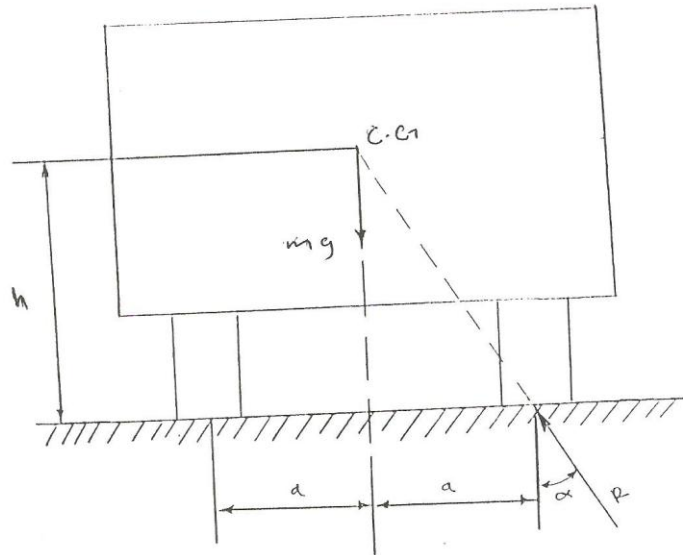
شكل رقم (١-١) مقطع العارضه بالسنتيمتر



شكل رقم (١-٢) توزيع الاحيارات على المقطع

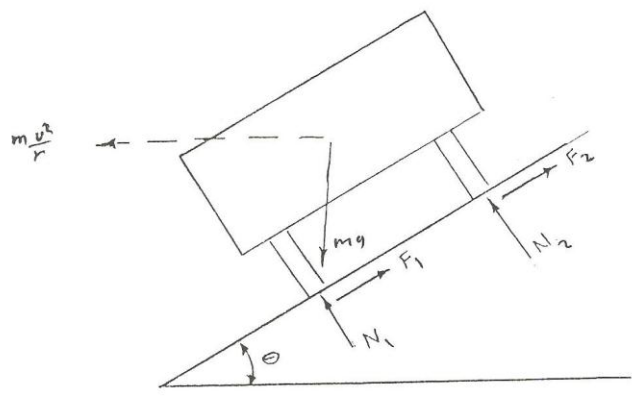


( ١-٣ ) شکل ۱۰  
یوضعن مترکب (علی متنعطف متسنفوی

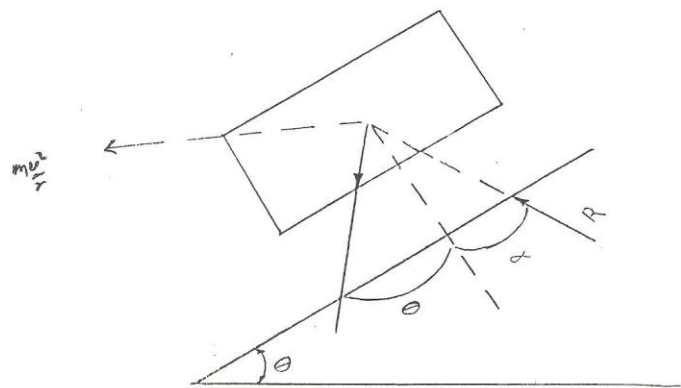


(2-3) سکل دعی

مرکبة نظریه من اخ نتایج کای متنی اخیر



a

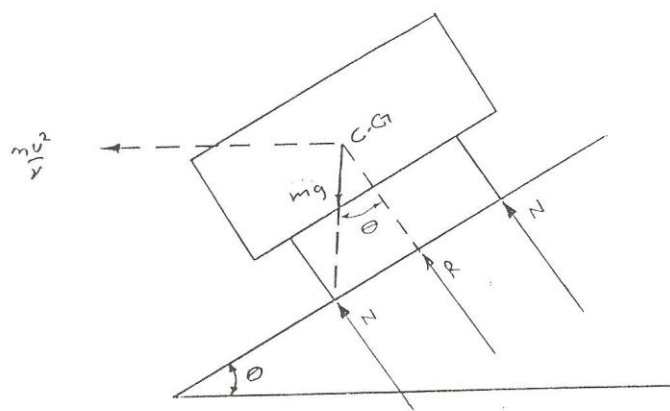


b

(3-3) شكل

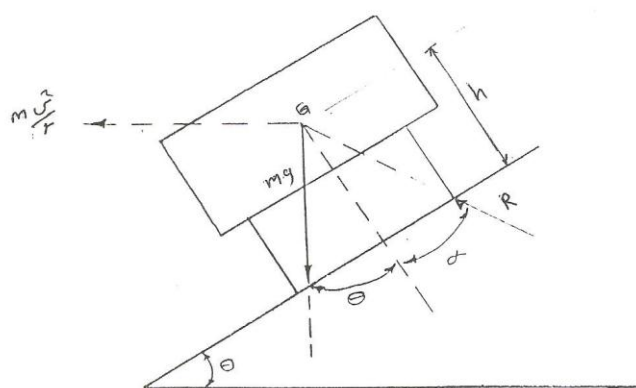
مركبة على متغير ماثل

27



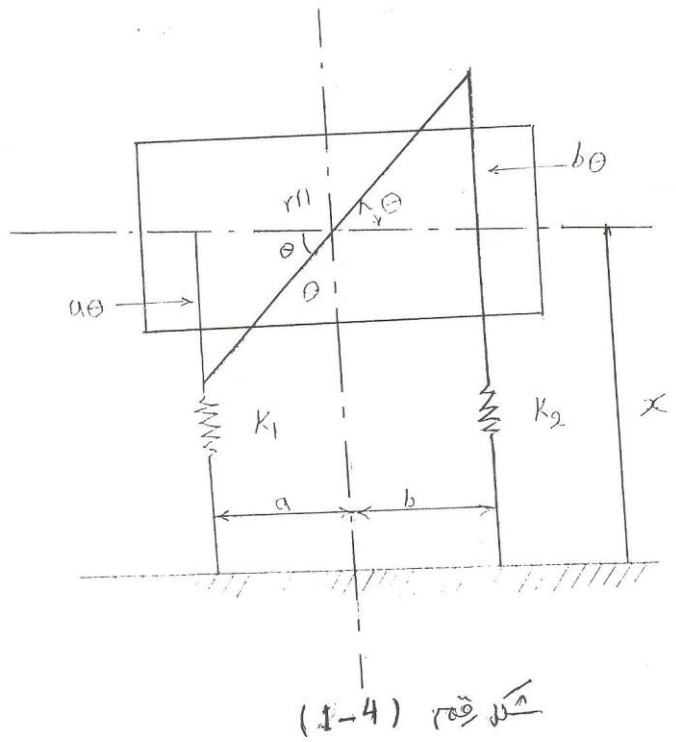
(4-3) شكل رقم

مروي على منتصف مائل دون احتكاك



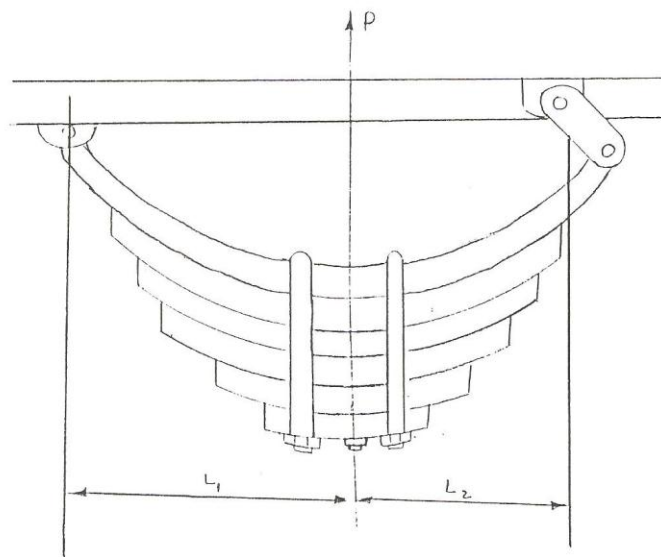
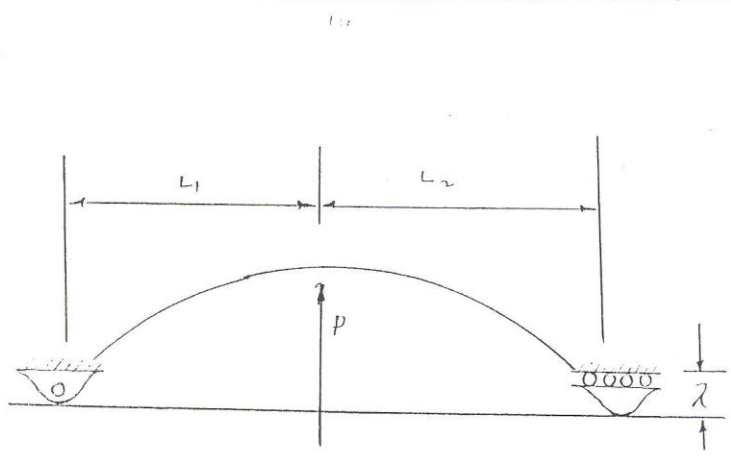
(5-3) شكل رقم

مركبة تقترب من اخر انقلاب على منتصف مائل

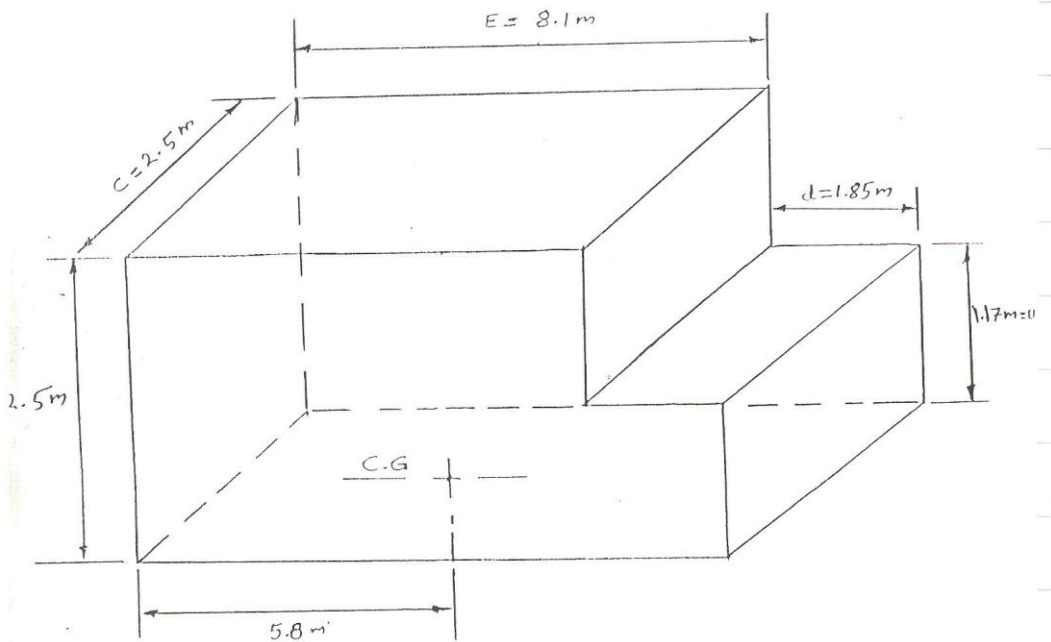


(1-4) တွေ့သွား

လုပ် ၂၇

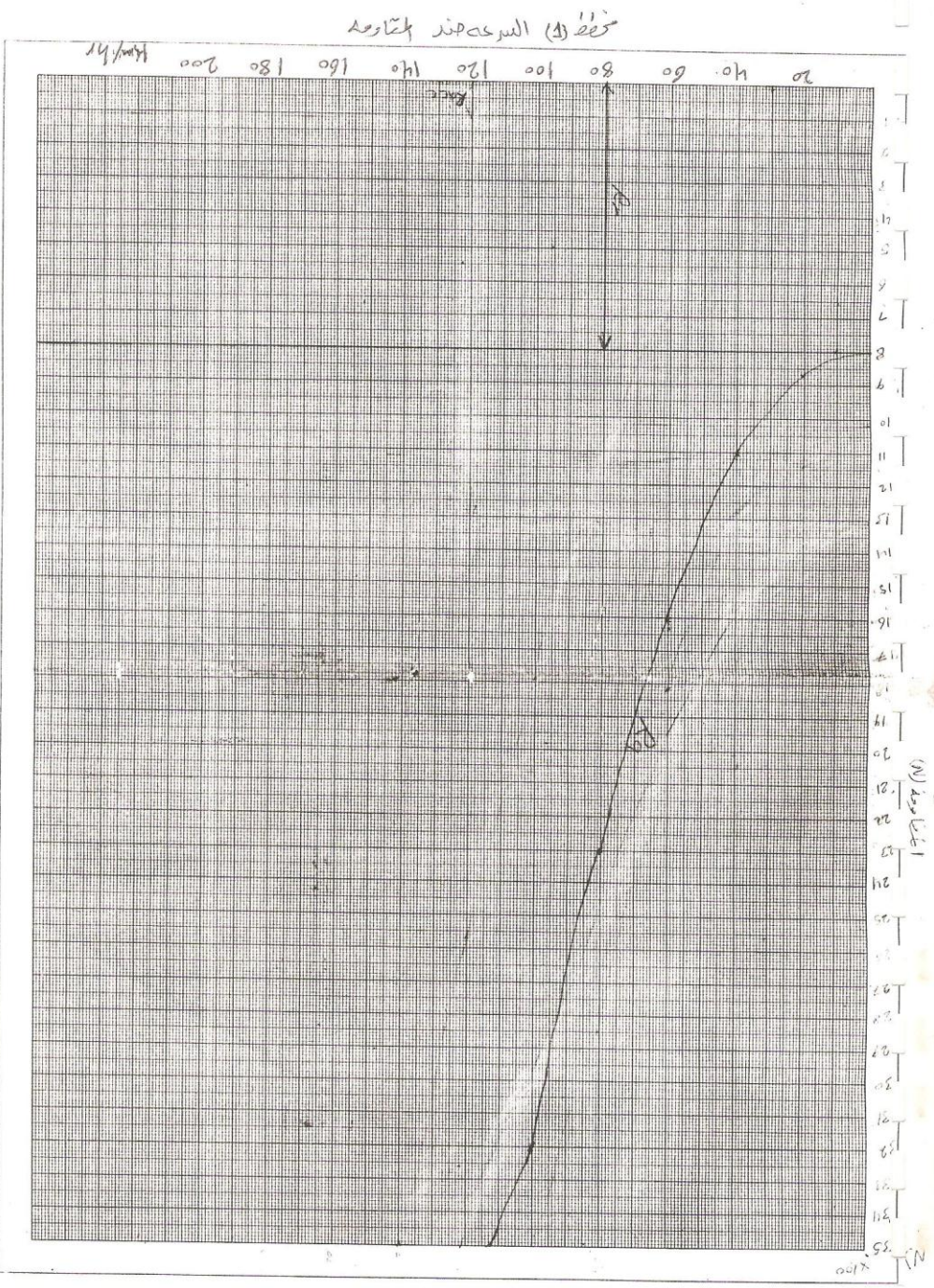


( ٢ - ٤ ) رقم  
يابس



( ٣ - ٤ )

بيانات ابعاد الحمولة



٣٢